

Mordell-Weil Lattices and Galois Representations --- Old and New

Tetsuji Shioda (Kyoto U. / Rikkyo U.)

モーデル・ヴェイユ格子とガロア表現---20年

塩田 徹治 (立教大学 / 京都大学)

代数学シンポジウム (明治大学)

8/4/2009

予定

- MWL誕生前後（秘話） (1989~)
- 代数方程式とMWL
- MWL概観
- 例外型 (E_6, E_7, E_8) 方程式論
- 整数点とグレブナ基底 (2007~)
- ガロア群 $=W(E_8)$ となる多項式の実例 (2009)

● はじめに MWL誕生前後

代数学シンポジウムで一般向けの話を、とプログラム責任者の宮岡洋一さんに声をかけられたとき、すぐお引き受けしたのは、私の(一つ覚えのような)話題である「**モデル・ヴェイユ格子**」は、まず**やさしいし実例も豊富**だから、一般の方に話すこともできるだろう、と漠然と思ったからである。

私が「モデル・ヴェイユ格子」なるものを研究し始めたのは1989年、今からちょうど20年前である。そして、その成果を初めて公表したのは、同年8月札幌で開催された「代数学シンポジウム」であった。そこでの標題(和訳)は「**モデル・ヴェイユ群、格子とガロア表現**」であって、まだ「モデル・ヴェイユ格子」なる用語を使うことが適当か否か思案中だった。直後に書いた報告集の原稿および同年9、10月に学士院紀要で発表した論文では「モデル・ヴェイユ格子」を採用し、それ以降幸いにもこの用語は完全に定着した。以下、MWL は「モデル・ヴェイユ格子」(Mordell-Weil Lattices) の略である。

背景

代数曲線や多様体の**整数点**や**有理点**に焦点を合わせた問題を、一般にディオファントス問題とよぶ。もっとも有名な例はフェルマーの最終定理の名で知られる問題で、これは

$$X^n + Y^n = Z^n$$

の整数解 (X, Y, Z) 、あるいは

$$x^n + y^n = 1$$

の有理数解 (x, y) について問うものである。その最終的解決は十数年前にワイルスにより与えられ、世紀の話題となったことは周知の通りである。

このような問題は、代数幾何的な舞台で整数論的な性格をもつ主役、脇役の働きを見たい訳だから、様々な角度から観察・研究することが可能である。

今から考える MWL の枠組みでは、

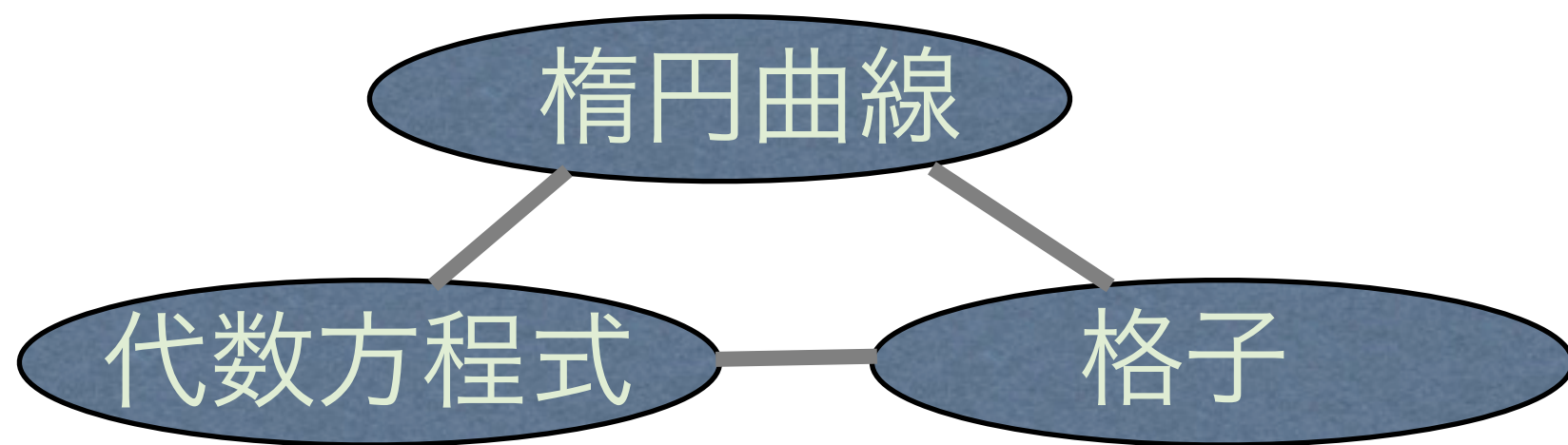
楕円曲面

という舞台で次のトリオ

代数方程式、楕円曲線、格子

が、活躍する。

これらはいずれも数学（とくに代数学）において基本的な対象であって、それぞれが大舞台の主役を張れるものであるが、ここでの関心はそれらの間の関係である。



MWL

予定

- MWL誕生前後（秘話）
- 代数方程式とMWL
- MWL概観
- 例外型 (E_6, E_7, E_8) 方程式論
- 整数点とグレブナ基底
- ガロア群 $= W(E_8)$ となる多項式の実例

代数方程式とMWL

まず、主な登場人物：

- 楕円曲線
- 格子
- 代数方程式
- MWL (モデル・ヴェイク格子)

について例で説明する。

MWLについては、一番簡明な結果を紹介する。

話の流れを感じとっていただければ幸いである。

楕円曲線

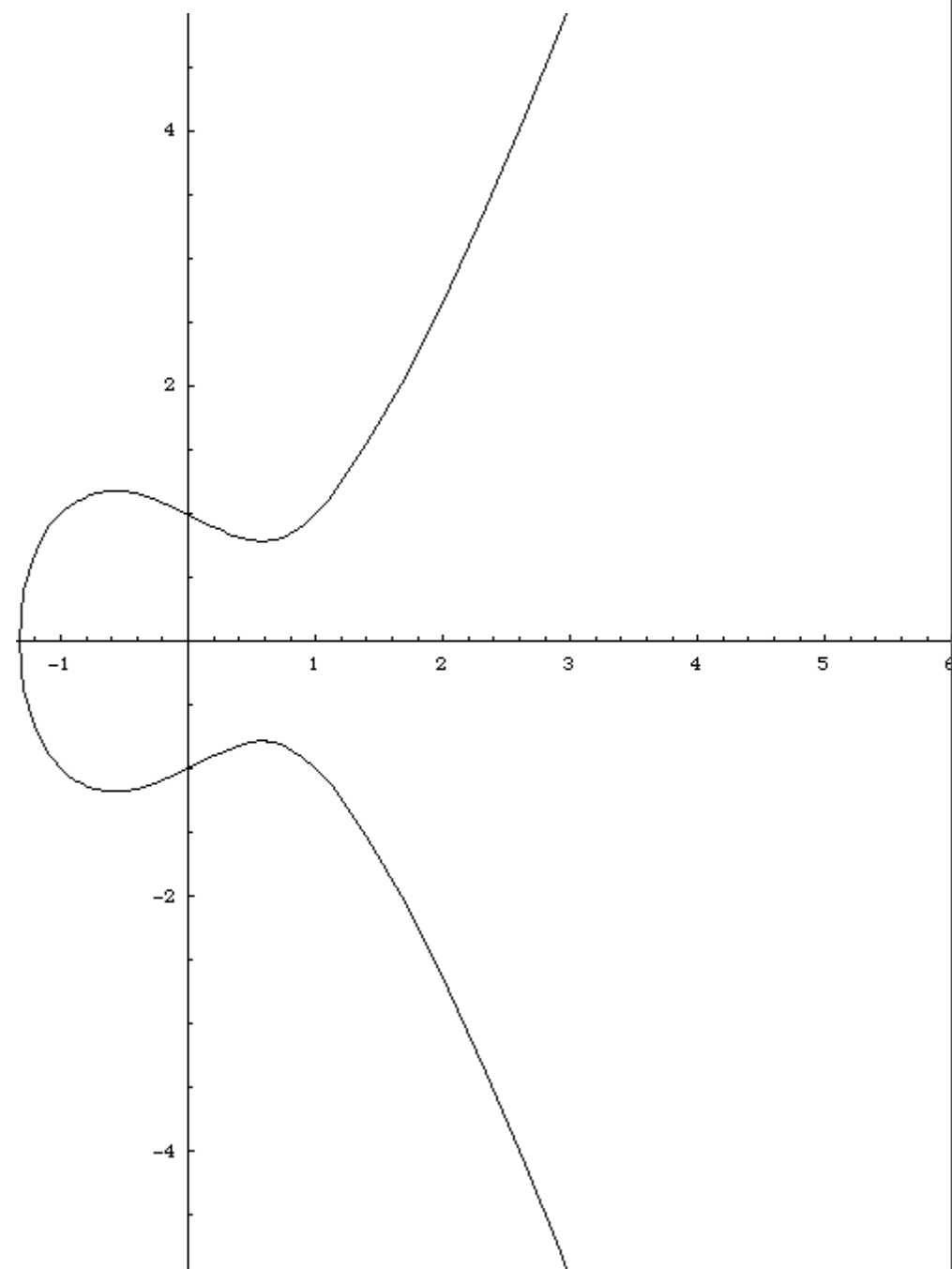
$$E : y^2 = x^3 + Ax + B$$

$$\Delta = 4A^3 + 27B^2 \neq 0$$

大切な性質：

加法で群になる。

原点 O は図に現れない。



楕円曲線

$$E : y^2 = x^3 - x + 1$$

$$E/\mathbb{Q}$$

\mathbb{Q} は有理数体

$E(\mathbb{Q})$: E の有理点のなす群

$$E(\mathbb{Q}) = \{O\} \cup \{(x, y) \mid x, y \in \mathbb{Q}\}$$

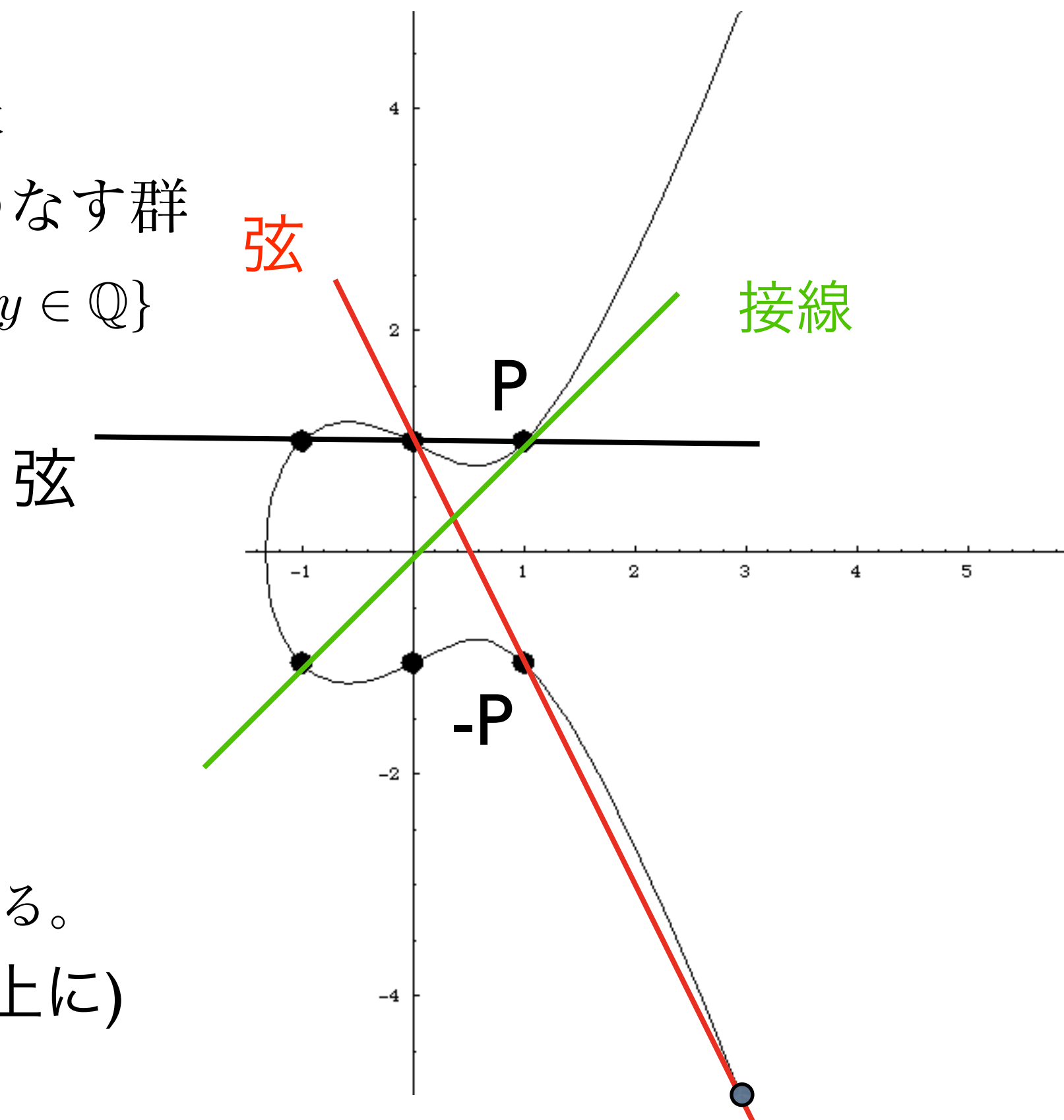
加法定理

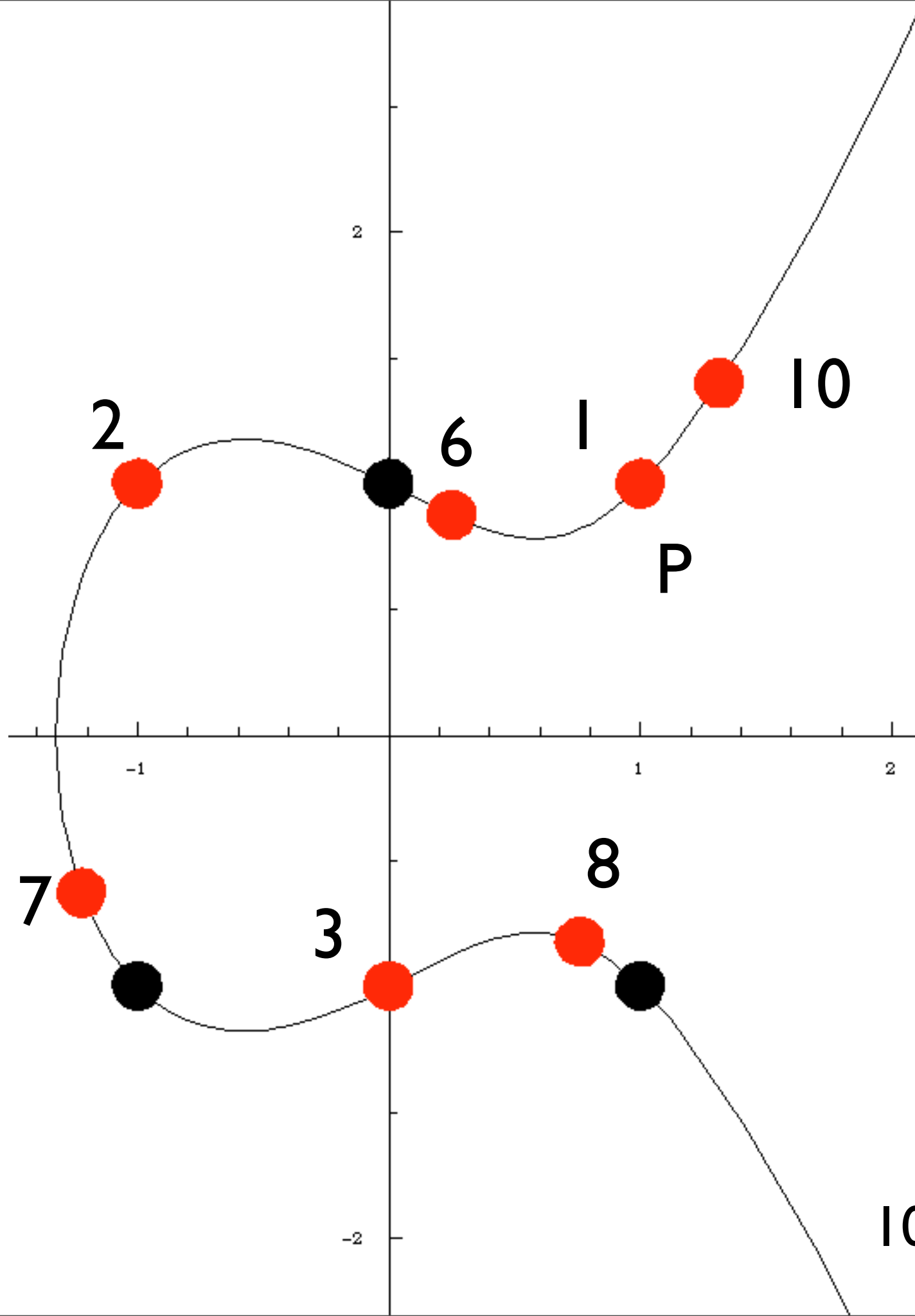
3点 P, Q, R について :

$$P + Q + R = 0 \Leftrightarrow$$

$\{P, Q, R\}$ が 1 直線上にある。

(1つの弦または接線上に)





- $P = \{1, 1\},$
- $2P = \{-1, 1\},$
- $3P = \{0, -1\},$
- $4P = \{3, -5\},$
- $5P = \{5, 11\},$
- $6P = \{1/4, 7/8\},$
- $7P = \{-11/9, -17/27\},$
- $8P = \{19/25, -103/125\},$
- $9P = \{56, -419\},$
- $10P = \{159/121, 1861/1331\}$

$$E : y^2 = x^3 + Ax + B \quad A, B \in K$$
$$\Delta = 4A^3 + 27B^2 \neq 0 \quad \text{体}$$

体 K が有理数体 \mathbb{Q} や有理関数体 $\mathbb{C}(t)$ のとき、
 K -有理点の群 $E(K)$ は

有限個の点で生成される加法群になる。

(モーデル・ヴェイユの定理)

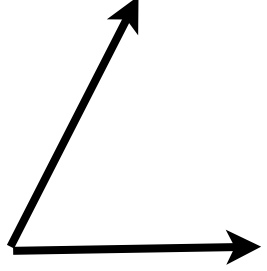
$E(K)$ をモーデル・ヴェイユ群とよぶ。 略してMW群

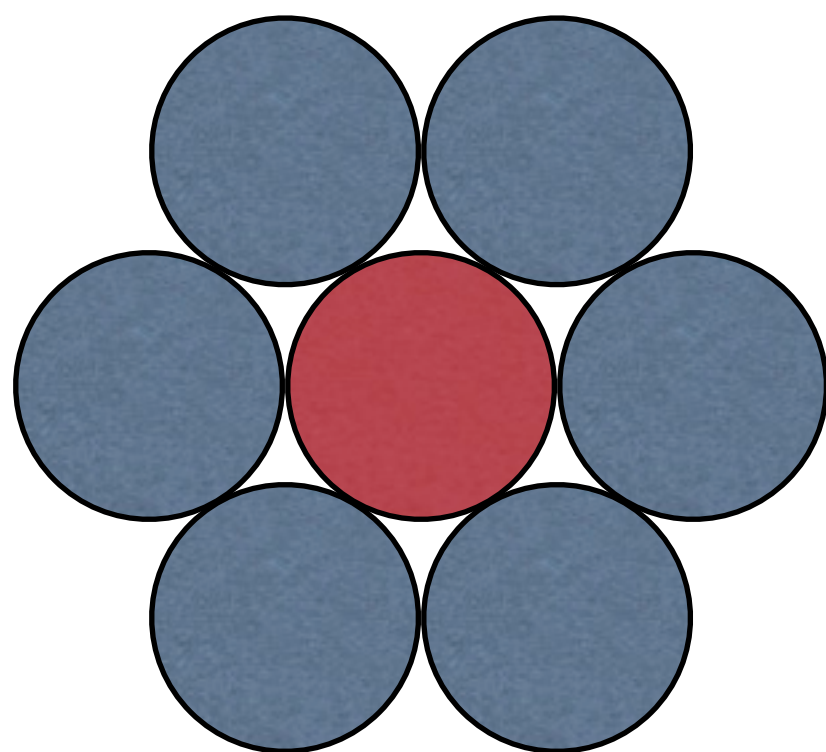
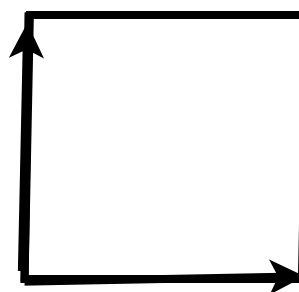
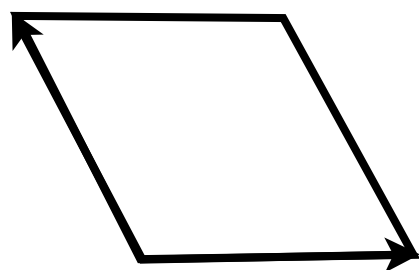
そして、 A, B が整数のとき、
その整数点は有限個しかない (ジーゲルの定理)

ことが知られている。

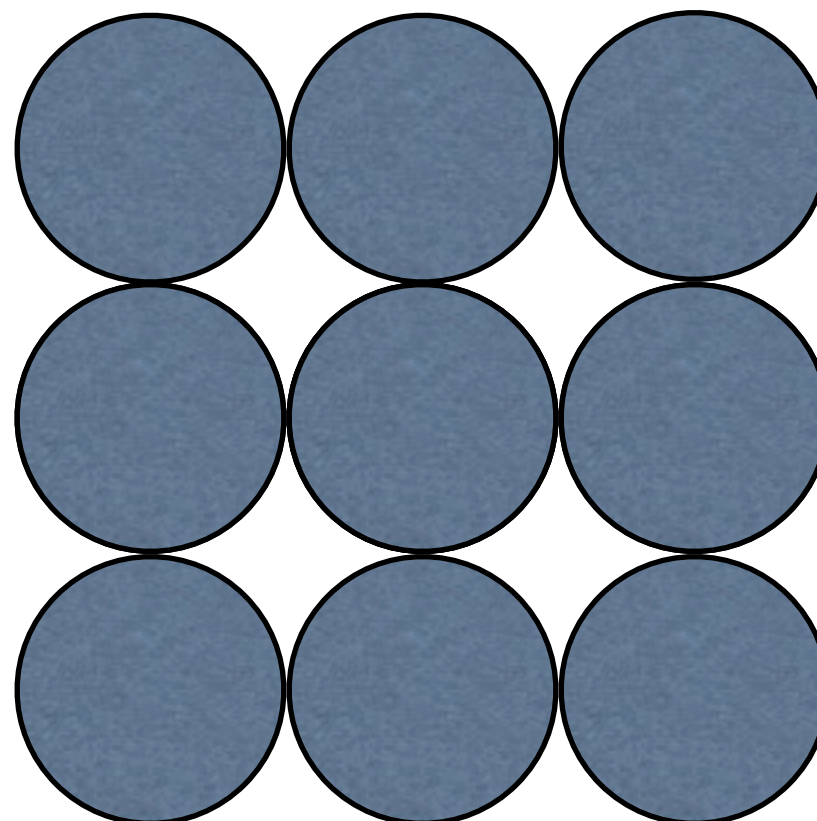
先の例では、
 $E(\mathbb{Q})$ は 1 点 P で生成される
ランク 1 の群：
 $E(\mathbb{Q}) \cong \mathbb{Z}$

格子(Lattice)

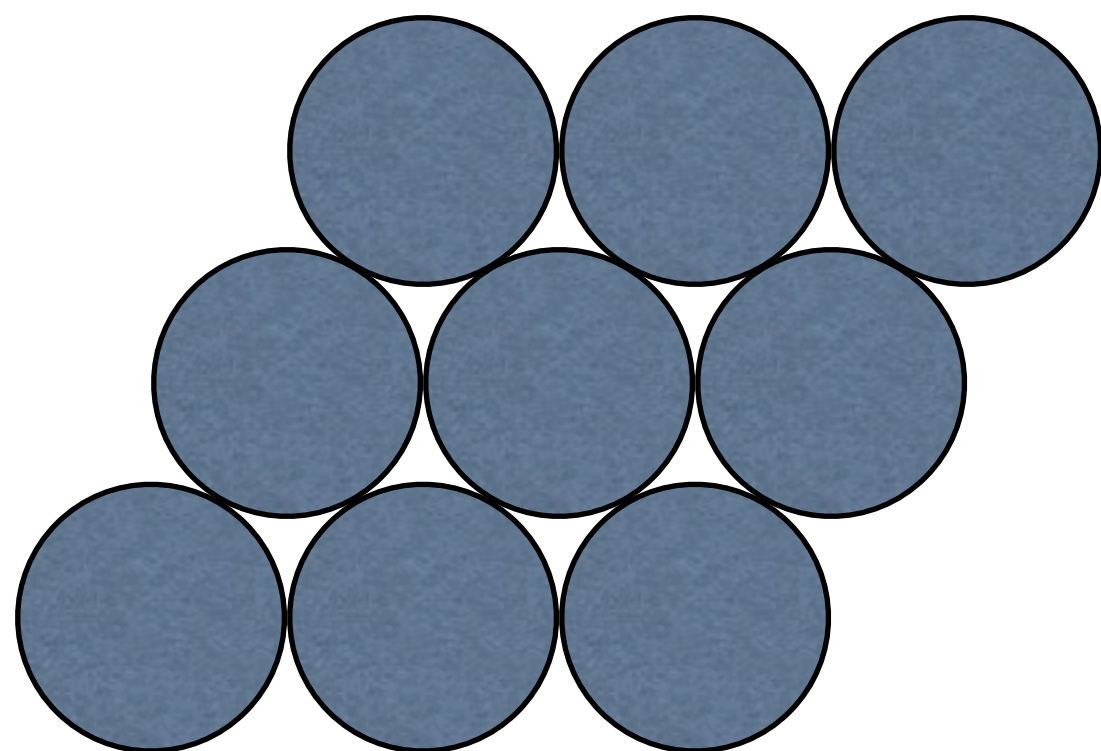
- 2次元格子は： で張られる。
- 正方格子、六角格子、その他、無数にある。
- 格子は「球の詰込み」（2次元のとき「円板の詰込み」）を与える。



六角格子

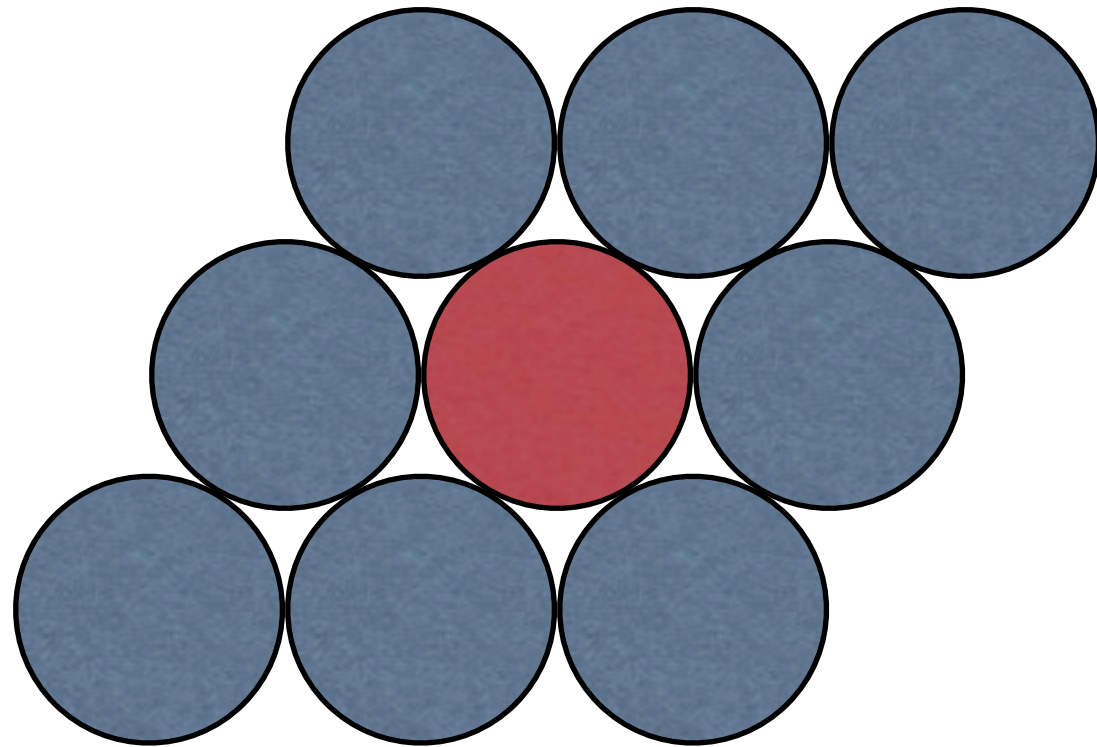


正方格子



格子点

六角格子と円板の詰めこみ



6角格子と円板の詰めこみ

2次元で最も密度の高い詰めこみ.

接触数(kissing number) = 6,

これも2次元で最大

ルート格子 A_2



$$\begin{pmatrix} 2 & -1 \\ -1 & 2 \end{pmatrix}$$

六角格子に相似、
2次元の最密格子
最短ノルム：2
最短ベクトルの個数：6個

ルート

A_2^* : A_2 の双対格子

$$\begin{pmatrix} 2/3 & 1/3 \\ 1/3 & 2/3 \end{pmatrix}$$

これも 六角格子に相似、
最短ノルム： $\frac{2}{3}$
最短ベクトルの個数：6個

高次元の格子：

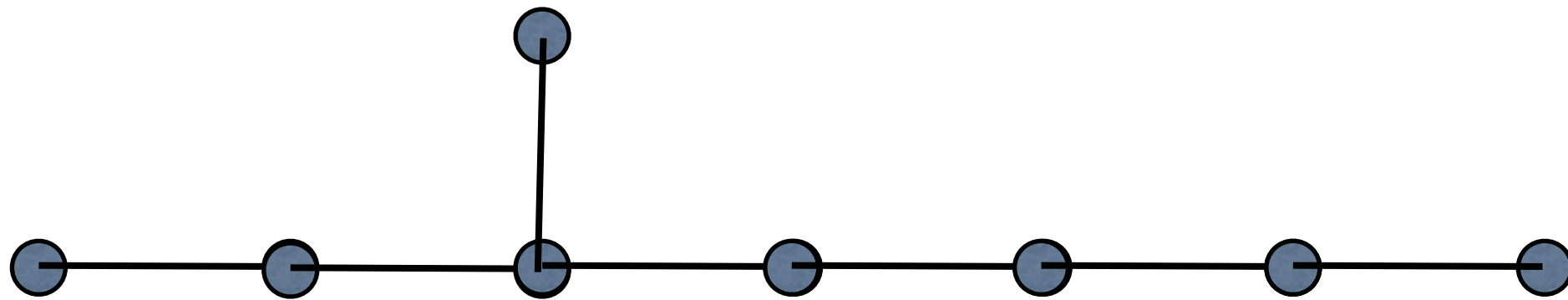
すべてMWL
として登場

3次元以上の格子では：

ルート格子 $A_3, D_4, D_5, E_6, E_7, E_8$

が最密格子を与える。また最大接触数を与える。

8次元の例外型ルート格子 E_8 は、



上のディンキン図形に対応して、

E_8 は、240個の **ルート** をもつ。

ルート とは、ノルム2の元 (長さ $\sqrt{2}$ の元) のこと。

代数方程式

- 3次方程式

$$f(x) := x^3 + Ax + B = 0$$

3根 x_1, x_2, x_3 ($x_1 + x_2 + x_3 = 0$)

相異なる $\Leftrightarrow \Delta_0 = 4A^3 + 27B^2 \neq 0$

たとえば、 A, B が有理数のとき、
3根をふくむ最小の体

$$\mathcal{K} = \mathbb{Q}(x_1, x_2)$$

を $f(x)$ の (最小) **分解体** という。

ガロア群 $G = \text{Gal}(\mathcal{K}/\mathbb{Q})$

は、3次の対称群 \mathcal{S}_3 の部分群。

MW群 vs MWL

次の楕円曲線を考える： (A_2 -model)

$$E : y^2 = x^3 + Ax + B + t^2$$

$$f(x) := x^3 + Ax + B$$

3根 x_1, x_2, x_3 t は変数

直線 $y = t$ の上には、次の3点がある：

$$P_1 = (x_1, t)$$

$$P_2 = (x_2, t)$$

$$P_3 = (x_3, t)$$

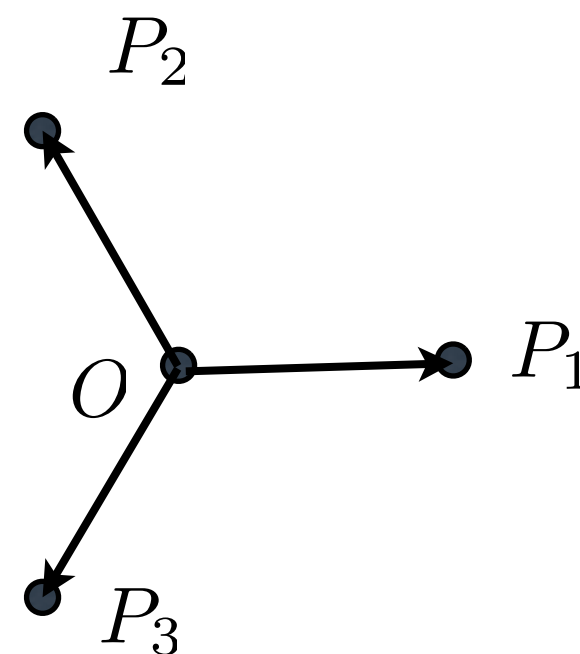
$$P_1 + P_2 + P_3 = O$$

Th.1 $E(\mathbb{C}(t))$ は (MW 群として)、
2点 P_1, P_2 で生成されるランク2のアーベル群

$$E(\mathbb{C}(t)) \cong \mathbb{Z}^2 \text{ (群として)}$$

MWLとしての結果は、Th.1より強い主張：

Th.2 $E(\mathbb{C}(t))$ は (MWL として)、
6 角格子と相似で、6 個の最短ベクトルは
 $P_1, P_2, P_3, -P_1, -P_2, -P_3$



Th.3 $E(\mathbb{C}(t))$ は A_2^* と同型

Th.4 $E(\mathbb{C}(t)) \cong A_2^*$
 $\cup \quad \cup$

$E(\mathbb{C}(t))^0 \cong A_2$ 狭い (narrow) MWL

6 個の $P_i - P_j \longleftrightarrow$ 6 個のルート

証明は後で.

具体例

例 1. $f(x) = x^3 - x = x(x - 1)(x + 1),$

3 根 $\{0, 1, -1\}$

$$E : y^2 = x^3 - x + t^2$$

$E(\mathbb{Q}(t))$ は $P_1 = (0, t), P_2 = (1, t)$

で生成され、ランク 2.

例 2. $f(x) = x^3 - 1 = (x - 1)(x^2 + x + 1)$

$$= (x - 1)(x - \omega)(x - \omega'),$$

3 根 $\{1, \omega, \omega'\}$. ω : 1 の 3 乗根

$$E : y^2 = x^3 - 1 + t^2$$

$E(\mathbb{Q}(t))$ は $P_1 = (1, t)$ で生成され、ランク 1.

分解体 $\mathcal{K} = \mathbb{Q}(\sqrt{-3}),$

$E(\mathbb{C}(t)) = E(\mathcal{K}(t))$: ランク 2.

例 3. $f(x) = x^3 - 2$ は既約、
3 根 $\{x_1 = \sqrt[3]{2}, x_2 = \sqrt[3]{2}\omega, x_3 = \sqrt[3]{2}\omega'\}$.

$$E : y^2 = x^3 - 2 + t^2$$

$$E(\mathbb{Q}(t)) = 0, \text{ ランク } 0.$$

$$\text{分解体 } \mathcal{K} = \mathbb{Q}(\sqrt[3]{2}, \sqrt{-3}),$$

$$E(\mathbb{C}(t)) = E(\mathcal{K}(t)) : \text{ ランク } 2.$$

MWL によるガロア表現

$$G = \text{Gal}(\mathcal{K}/\mathbb{Q}) \quad L = E(\mathcal{K}(t)) \quad \text{MWL}$$

$$\rho : G \hookrightarrow \text{Aut}(L)$$

$$\text{Im}(\rho) \subset W(A_2) \cong \mathcal{S}_3 \quad A_2 \text{ のワイル群}$$

$$\text{例 1. } G = \{1\}$$

$$\text{例 2. } G = \{1, (23)\}$$

$$\text{例 3. } G = \mathcal{S}_3$$

予定

- MWL誕生前後（秘話）
- 代数方程式とMWL
- **MWL概観**
- 例外型 (E_6, E_7, E_8) 方程式論
- 整数点とグレブナ基底
- ガロア群 $=W(E_8)$ となる多項式の実例

- MWL概観

楕円曲線

$$E : y^2 = x^3 + Ax + B$$

$$A, B \in K \quad \Delta = 4A^3 + 27B^2 \neq 0$$

K は 有理関数体 $K = k(t)$ とする。

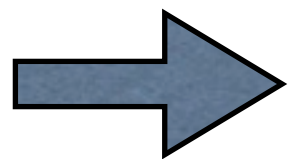
(k は 有理数体、複素数体 など)

以下、 A, B は 多項式 $A(t), B(t)$ とする。

楕円曲面

このとき、式

$$y^2 = x^3 + A(t)x + B(t)$$



(x, y, t) -空間の中の**曲面** S'

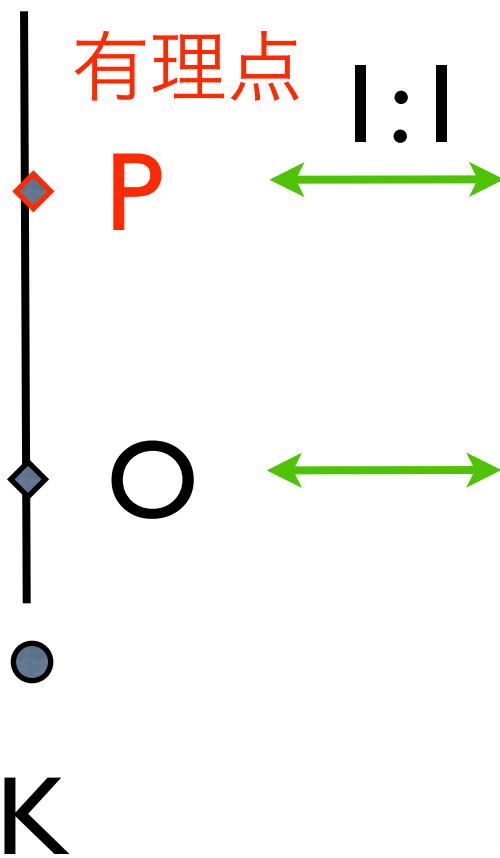
関数体上の 楕円曲線

E / K



S: 楕円曲面

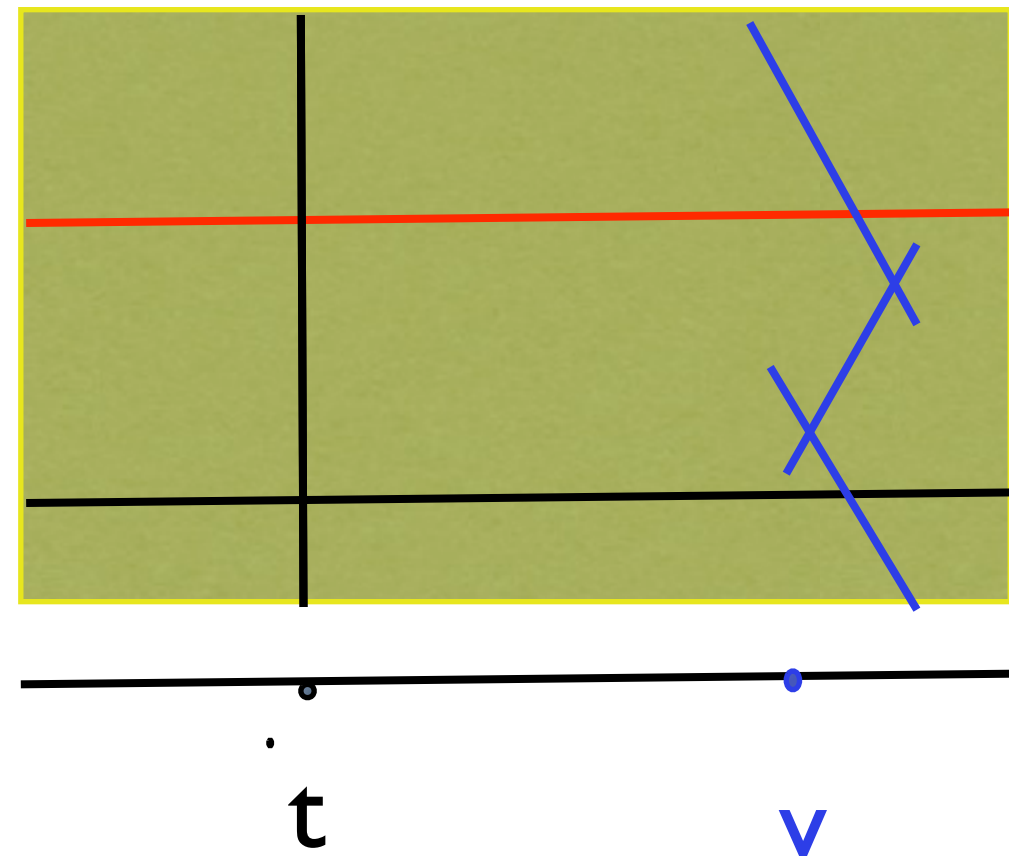
特異ファイバ (小平)



切断
(P)



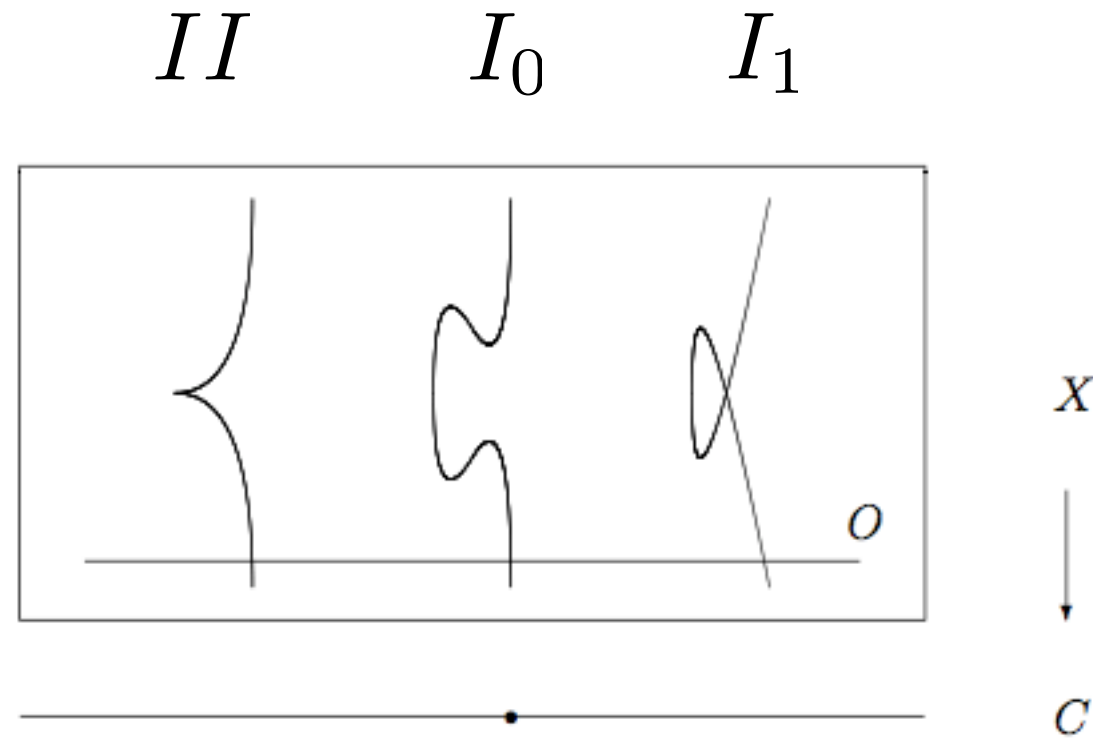
(O)



S
↓
 C

特異ファイバの分類 (小平 Kodaira)

既約なファイバ



I_0 は
非特異ファイバ
(楕円曲線)

可約なファイバ (multiplicative type)

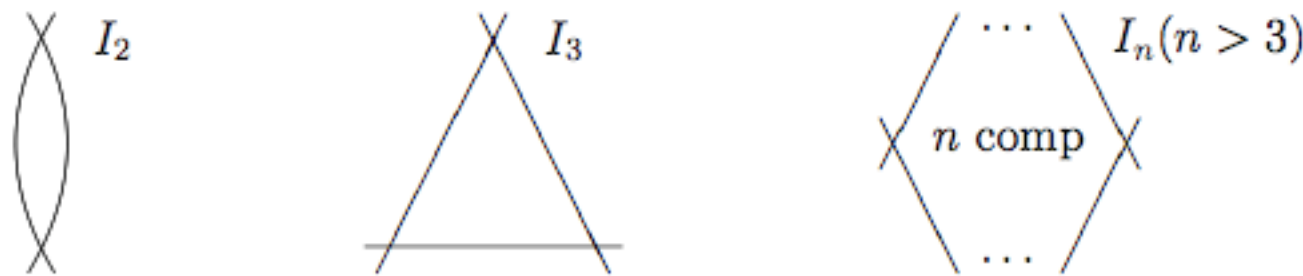


FIGURE 3. Singular fibre of type I_n ($n > 1$)

可約なファイバ (additive type)

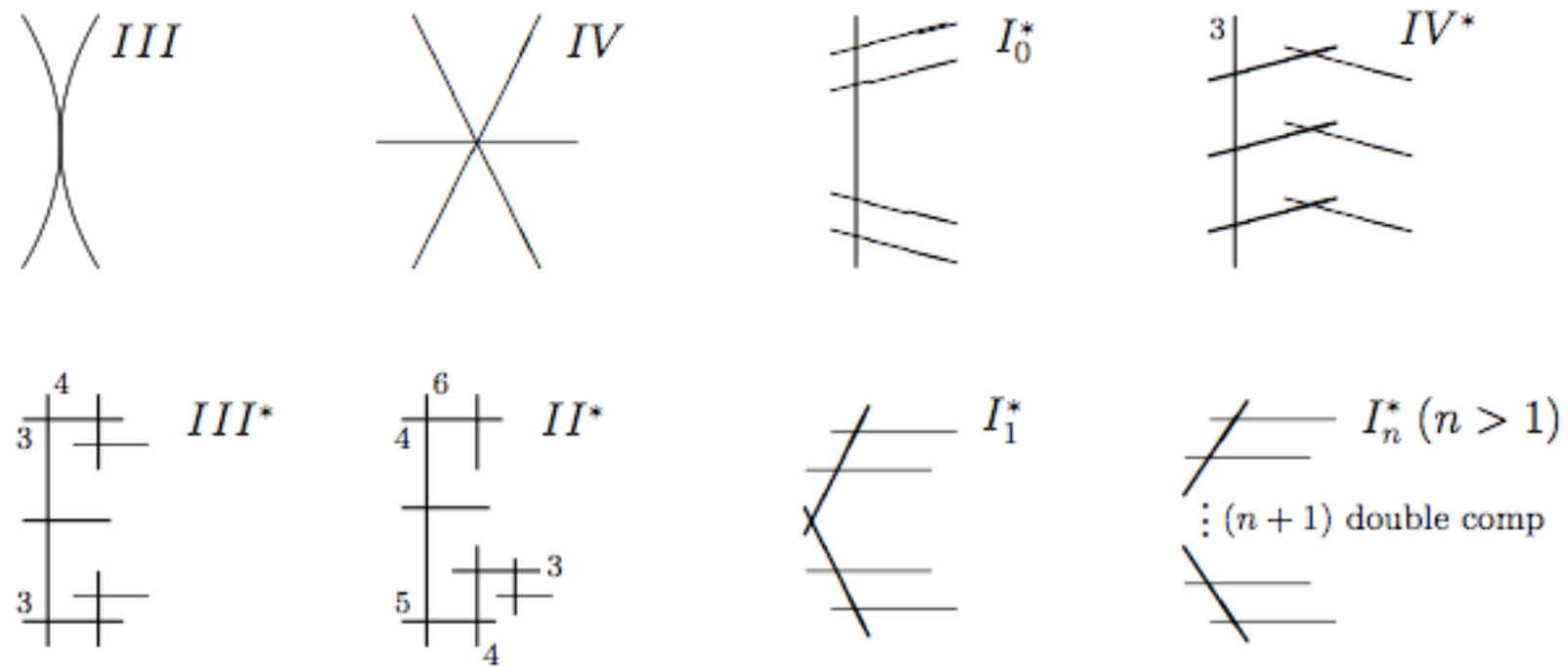


FIGURE 4. Reducible additive singular fibres

モデル・ヴェイク格子：基本的アイデア

モデル・ヴェイク群 $E(K)$ を格子として見る。

自然な内積（ハイト）を、

曲面の交点理論を用いて定義。

ハイト公式：

$$\langle P, P \rangle = 2\chi + 2(P \cdot O) - \sum_{\text{可約ファイバ}} \text{contr}_v(P)$$

定義： $E(K)$ を内積付きで考えたものを、

楕円曲線 E/K (または、楕円曲面 S) の

モデル・ヴェイク格子という。

有理楕円曲面

$$y^2 = x^3 + A(t)x + B(t)$$

$A(t)$ が 4 次以下、 $B(t)$ が 6 次以下のとき。

$$\chi = 1$$

ハイト公式：

$$\langle P, P \rangle = 2 + 2(P \cdot O) - \sum_v \text{contr}_v(P)$$

$(P \cdot O)$ は切断 (P) とゼロ切断 (O) の**交点数**

有理楕円曲面 で可約ファイバがないとき、

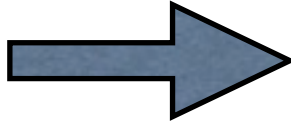
MWL はルート格子 E_8 に同型：

$$E(k(t)) \cong E_8$$

240個のルートに対応する $P \Leftrightarrow (P) \cap (O) = \emptyset$ なる P

(A_2 -model)

$E : y^2 = x^3 + Ax + B + t^2$ についての証明 :

仮定 $4A^3 + 27B^2 \neq 0$ 

$t = \infty$ で IV^*

可約ファイバは、これのみ

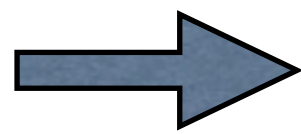
$$P_1 = (x_1, t)$$

$$P_2 = (x_2, t)$$

$$P_3 = (x_3, t)$$

にハイト公式を適用 :

$$\langle P, P \rangle = 2 + 2 \cdot 0 - 4/3 = 2/3$$



Th.2, 3 の証明ができる。

Th.4 で $P_i - P_j$ のハイト = 2
も同様に示される。 (終)

予定

- MWL誕生前後（秘話）
- 代数方程式とMWL
- MWL概観
- 例外型 (E_6, E_7, E_8) 方程式論
- 整数点とグレブナ基底
- ガロア群 $=W(E_8)$ となる多項式の実例

特異点の変形

Milnor lattice: MWL

monodromy: Galois rep.

vanishing cycle: \mathcal{P}

● 例外型 (E_6, E_7, E_8) 方程式論

$(E_8 - model)$

$$E_\lambda : y^2 = x^3 + A(t)x + B(t) \quad (1)$$

$$A(t) = p_0 + p_1 t + p_2 t^2 + p_3 t^3$$

$$B(t) = q_0 + q_1 t + q_2 t^2 + q_3 t^3 + t^5$$

$$\lambda = (p_0, p_1, p_2, p_3, q_0, q_1, q_2, q_3)$$

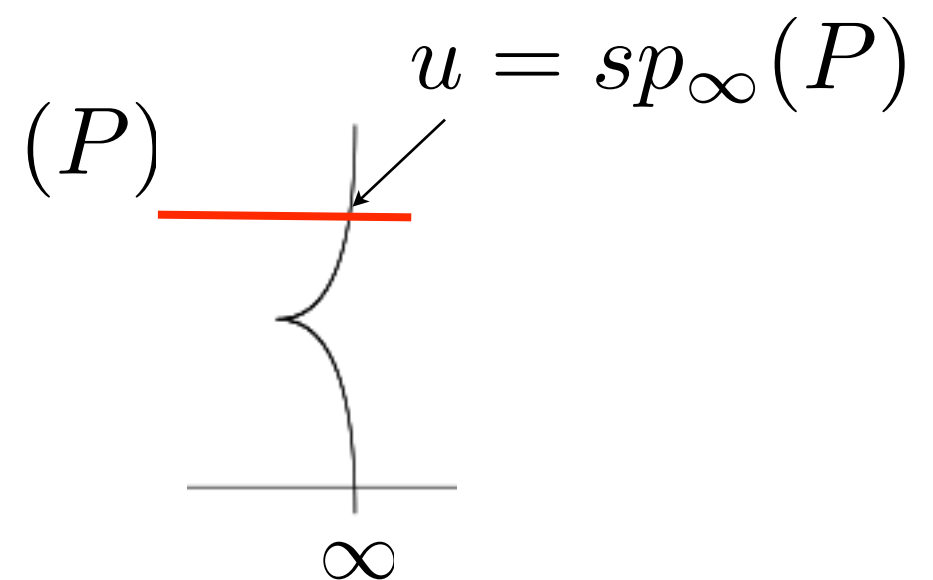
λ が一般のとき、240個の

次の形の有理点 = 切断がある :

$$P = (x(t), y(t))$$

$$x(t) = \frac{1}{u^2} t^2 + at + b,$$

$$y(t) = \frac{1}{u^3} t^3 + ct^2 + dt + e \quad (2)$$



前のページの (1) 式に (2) を代入すると、
 t についての恒等式ができる。これから、
 e, d, c, b, a を順次消去することにより、
 u に関する 240 次方程式を得る：

$$\Phi(u, \lambda) = u^{240} + \dots = 0$$

その係数は $\mathbb{Q}[\lambda] = \mathbb{Q}[p_i, q_j]$ に属する。

E_8 型代数方程式の基本定理

$\Phi(u, \lambda)$ は係数体 $k_0 = \mathbb{Q}(\lambda) = \mathbb{Q}(p_i, q_j)$ の上で
既約な 240 次多項式、

その分解体を \mathcal{K}_λ とすると、ガロア群

$Gal(\mathcal{K}_\lambda/k_0)$ は ワイル群 $W(E_8)$ に同型。

ワイル群 $W(L)$

ルート格子 L の各ルート α による鏡映 w_α で生成される群
これは 格子 L の自己同型群の有限部分群。

$L = A_2$ のとき、 $W(A_2)$ は 3 次対称群に同型。

$L = A_{n-1}$ のとき、 $W(A_{n-1})$ は n 次対称群に同型。

$L = E_8$ のとき、 $W(E_8)$ は?

位数 $= 2^{14} 3^5 5^2 7 = 696729600$

ほとんど単純群 $O_8^+(2)$ に等しい:

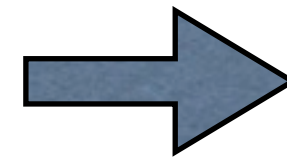
$W(E_8) = 2.O_8^+(2).2$ (Atlas の記法)

基本定理の応用：

$W(A_{n-1}) \cong \mathcal{S}_n$
一般 n 次方程式と対称群
の場合と同様に：

まず、”大きなガロア群”について：

Hilbert の既約性定理



1. $\lambda = (p_i, q_j)$ を有理数値 λ_0 に特殊化するとき、ほとんどの場合 $\Phi(u, \lambda_0)$ の分解体のガロア群は $W(E_8)$ に等しい。
2. 有理数体 \mathbb{Q} の任意の $W(E_8)$ -拡大は、1. のようにして得られる。

実例の構成については、後述。

一方、”小さなガロア群”のアイデアから、

3. $\mathbb{Q}(t)$ 上の楕円曲線でランク 8 のものの標準的構成

他の例外型 E_6, E_7 についても
以上と同様なことが成立する。

しかもこのときは、以前実例も与えた。

(Proc. ICM Kyoto 1990 に公表)

尚、 E_6, E_7 型のMWLから生ずる代数方程式は、
代数学の古典 (19世紀)

3次曲面上の27本の直線の代数方程式

4次曲線上の28本の双接線の代数方程式

を再現したので、その方面への応用もある。

予定

- MWL誕生前後（秘話）
- 代数方程式とMWL
- MWL概観
- 例外型 (E_6, E_7, E_8) 方程式論
- 整数点とグレブナ基底
- ガロア群 $= W(E_8)$ となる多項式の実例

他の例外型 E_6, E_7 についても
 E_8 と同様なことが成立する。
しかもこのときは、以前実例も与えた。
(Proc. ICM Kyoto 1990 に公表)

しかし E_8 のときは、ワイル群 $W(E_8)$
の情報が十分でなく、実例が出来なかった。

今回(2009) このトピックについて
進展があったので、報告する：

Jouve, F., Kowalski, E., Zywna, D.: An explicit integral polynomial whose splitting field has Galois group $W(E_8)$, Preprint: <http://arxiv.org/0801.1733> (2008).

彼らは、代数群 E_8 の随伴表現の
固有多項式を用いて、求める性質をもつ
整数係数多項式 $F(X) = H(T), \text{ ~~(} T = X^2 \text{)}~~$
の実例を作った。 次の 2 ページの表は
 $T^i (i = 0, 1, 2, \dots, 120)$ の係数である：

$T = X + \frac{1}{X}$



Degree i Coefficient of T_i

- 0 365587894983967922854560421106658794835269162025801581455381270108994772086354097689969
- 1 -11188764671313743052104852260462353867603756780241598167388311775144605678410262867332448
- 2 169253696238399029559192135798369681596869020592118579039666548219126339368278708130365896
- 3 -1687159920262524494571824891028833720039695470637056956223462293372163529290126431304585100
- 4 12466538870569350428117512482674638738192598391028225510113876433671029848121166234252784168
- 5 -72826947156697363455035723423426971890324922381314772703337692580409097282009564861222315768
- 6 350331529672673601609711561533019721386090515420775351136161318553244630344247566318282845504
- 7 -1427238565615616836874966027280849892931467391947083350631098008579547451949365512165445324548
- 8 5026354438857350042393019188859322619309223067912455590765316222074769006654715395492167534064
- 9 -15543242692747890030945651958468728793028138424448388052344884541152421476286890160281606087912
- 10 42727722856586577963125858580310302599252714404522901925297264385654281164703726634073363638112
- 11 -105456673870095173711703163143669727224697814378273599459423442778596360012854640538260794921080
- 12 235607817095755199368858190149899878856163978515561431455451403131557914807361950016856603119900
- 13 -479770149264907609591636867066530148444729317862800608632937138608427032184610743855219428626708
- 14 895635623173061803600226851312211772312504932418933306086383616156548261949688014524531333153508
- 15 -1540472555790089754392061652689278932257505758853194366507839523329666453963515188071478275995640
- 16 2451788710586871745589664228861539890944914421283328064352160762645878635406460765371848464480340
- 17 -3624640505901638188009697337857954483473385109589930872949558184551987911180781360042790583083604
- 18 4994024072126951505126399098824620904652453895567294295762673834554854694248727868906577016537540
- 19 -6431721637672973764253559554028129752608859470080682240640404627541331731173957688036200659035092
- 20 7763241468623979545008124501105553771540039037756350364261700519310257100760280299151055542732492
- 21 -880294288038149938824565107025927387257133887019890682471629876658527691483055582491983237377496
- 22 9397428905594516743427299464872348062738848222907978714295289389671821494398632421489330984834096
- 23 -9462921861838231504232648180683566209060687542850222756830572873896415321834823788805352470036944
- 24 9004042910145318452280462187844950546979429562212010153159452511976316511237893389182144564071816
- 25 -8108466777447973350625143866020889145905001781484033233303172750662906603502257635040763697120800
- 26 6920877993691644199503325490868076639226322468228894863452356759758353696538512384603684679212236
- 27 -5606393286650355050632445312392545648077485412935086399427015013222455115423342550668229228526380
- 28 4315552971543918712292689802749919612866096319783016002162626109826378082792279094813015908629560
- 29 -3160147292945573961625584424097717920370225757650282483390682408815821565443532117419343460827840
- 30 2203660581121260808668034624515265900353324373444058449372337614106044024846226145678411752103944
- 31 -1464744343303019546273900066171788739473025422537466727740192615776481945774661361874676553542888
- 32 928837747351900139847510911539219291666880836492600960301761612482212279686785348971171633827678
- 33 -562380987452023460657841067338702972535374341028182139165378619782789496619429231331416465467136
- 34 325356235824906304914262446976176796571764856456686279807557436317349277524804415206207943829668
- 35 -179980581397996318804833400684252642822685183748168637880480218232713417673333008007141832612656
- 36 95259358673342811962577374968024344116759528191118197330901994055953518185301961938058278687152
- 37 -48268244673830087725415910980532812904398769665363772047167723957702501678922709545345961314952
- 38 23427392442378901750354958702292727966207504749183723357421289869802194332649685331485983388676
- 39 -10897163294836081802023740205919221704582045121673085440709523835797116373484015837949721485760
- 40 4859945481426652393657932982123404648051819351769400595806382044197187788576701075955522665148

Degree i Coefficient of T_i

- 41 -2079041289572381880981851137517243250745330223456680067657643451728129396120093304826885539344
- 42 853451569340348395409517113261975739247889854460920295141494937564435136719739663763259170648
- 43 -33630610161443996495786052524700005857956841159545332435837005318322034194039653447757128580
- 44 127254544703467199806219784585607568957868365018715949880037719179469076397221511835490064520
- 45 -46251344543607872597100973940088670916183046876614132396624422211322670222925432802603348764
- 46 16151229449214495754070501316928248080301470592125995573153793317058666430416170267465079692
- 47 -5420296230053687740961180866132183229319212804267569609857245172190699563010303045911368944
- 48 1748523996015819207122503672053973801759807116329056619663716454198769892066785902652554878
- 49 -542294947655157376138526043814456732351589519118047194151659330168304308215153590486208844
- 50 161729358620880031971279266977475707554378016762290238000893567282554531020744559074376324
- 51 -46386918898623721747469881003020417214566850265053511450799223706659896381395790959743804
- 52 12797051499162896398440721779023796724984325295916014796039628931842465948343894845111380
- 53 -3396073129112728218339337536714697724329251745742194506364950008794369800942410905152136
- 54 867027209473064571745438316617176614625159965185956598478937806132721701397948869458900
- 55 -21296287590476615680805395803290733357695004616562577467766725190478765564375705176324
- 56 50327885532415893880483155785349071253807731172747773207451521031252671732632230388978
- 57 -11443438667187908543351570986876579176110747490338119245195350888150296055016975582004
- 58 2503504763126665005017589126659165629183801291281925243578712171462099771849619254744
- 59 -526958944944907268493639103677877316954184364418982668079438920193188411899643568508
- 60 106715051592438328930689239004654253545573721719451360040168657740453189940915192314
- 61 -20790779910335793865471457635357833163154112951516080880730395764735512013025652796
- 62 3896541990320087145594716450422460409978287599082283693485952309365925318005644500
- 63 -702441672053715648053554868151235620650214741238958432207947706491608211081312400
- 64 121790629393362604544357589123597436252606558743434815262003043923897464121167197
- 65 -20306355805901050837901846972656773418756565045468863673412540172210337271902340
- 66 3255350507442216588937835814600680908204323769283956961525023238451439544941760
- 67 -501690059905683053720524741882157670117822132733245580070161190249583644847028
- 68 74312275258414477271317122327593160444507387370961124773453087824921327894416
- 69 -10577404455255469741143362965021672227782124046356528509651977109935992639428
- 70 1446398328284711960698545660047973219044522333438207563556095761539846607256
- 71 -189965195590509120305163972290005629377791264599483176752468398233763249484
- 72 23956016062333717865546677021452562824319209365764369018142153751707952028
- 73 -2899855516264429489706362148867135560476890463566496024776316822467683664
- 74 336833599313788500559679181776716047210388540402180437654119288339393740
- 75 -37529836525283747105371855723169247756700129909528157240024250001998788
- 76 4009530152235809687640827672341358465891595297597478301291898189654876
- 77 -410569812715360439015853397370594547170545487427635936414500045030652
- 78 40277795973917435115762646297317343617205272567786230485171910510652
- 79 -3783768552039089682586618639655876942103322356223597420264279396724
- 80 340207987956327503878827250457263328265317830300159719894983206382
- 81 -29261155514270620208017844865051944340304021710386304703117145200

Degree i Coefficient of T_i

- 82 2406110405248787166244163214026562342878677865734412916133200336
- 83 -189038373443757680942334919469355568250711998730640952299841492
- 84 14181101939087673375192221173276978973988251595771099469911248
- 85 -1015059691711179211122508131842675818892409168967000131556504
- 86 69273982784497519473037155287005412956159996851830481504940
- 87 -4504005163576022050795556544568918073128228705604683414856
- 88 278744922765563512122592853176105123936966933933756780006
- 89 -16405810574710923918958669050194823065267996065080494420
- 90 917373448095043315139701983319126630369060417226308240
- 91 -48685180731396433963474339952113579549797184903456932
- 92 2449403736861952764502194313954481630464621913377362
- 93 -116683889096980060401747351223521809696783299718096
- 94 5256318681823135646376194757383743386905542401984
- 95 -223594517259941108513934941256272336603486583080
- 96 8967837569963007481063656618084357384523513289
- 97 -338566611781299224336234061335519673555729968
- 98 12010206026853145744238047620715510383030860
- 99 -399536336273091783248772485529679824619372
- 100 12437443190985072692004053616601920326304
- 101 -361454027338752388080364343617032962704
- 102 9781270532352502601151919455054150468
- 103 -245758896101673421544480044149574716
- 104 5714846913247894902773082359642858
- 105 -122552946275635592994659815458660
- 106 2413849634493902632445738578404
- 107 -43467840407415668458306853984
- 108 711884504814065975117065754
- 109 -10538669572997700747046736
- 110 140021126816597308605612
- 111 -1655565532193307303324
- 112 17242140511966984109
- 113 -156184748605164508
- 114 1211012431626440
- 115 -7871527038772
- 116 41688975082
- 117 -172657460
- 118 524076
- 119 -1036
- 120 1

これに対し、最近
われわれが MWL の方法で構成した例を
次ページに示そう。

とても大きな係数の多項式で
あることは見ての通りだが、
前出の JKZ と比較するならば、
はるかに小さな整数係数をもつことが
見てとれるであろう。

T. Shioda:
Some explicit integral polynomials
with Galois group $W(E_8)$
~~Preprint (June 2009).~~

PJA85A (2009), 118–121.



The quantity v satisfies the algebraic equation of degree 210 with integer coefficients $\Psi(v) = 0$, which is explicitly given as $\Psi(v) = F(v^2)$ with a polynomial $F(X) \in \mathbf{Z}[X]$ of degree 120 below:

$$\begin{aligned}
 & F(X) \tag{3} \\
 = & 1 + 60 X + 1764 X^2 + 33880 X^3 + 478890 X^4 + 5327856 X^5 \\
 + & 48793140 X^6 + 380483064 X^7 + 2598324795 X^8 + 15932785020 X^9 \\
 + & 89749362936 X^{10} + 473980028160 X^{11} + 2387129524492 X^{12} \\
 + & 11610734817520 X^{13} + 54946822132728 X^{14} + 253570184893640 X^{15} \\
 + & 1139170471812505 X^{16} + 4966863067888332 X^{17} + 20975997259257420 X^{18} \\
 + & 85751930578096488 X^{19} + 338777493097323270 X^{20} \\
 + & 1286110326634556720 X^{21} + 4645243511039448812 X^{22} \\
 + & 15781295779679038440 X^{23} + 49982542358210104135 X^{24} \\
 + & 147131229010289262732 X^{25} + 404490375319591401040 X^{26} \\
 + & 1051866512316875968008 X^{27} + 2627876995725411369560 X^{28} \\
 + & 6344305570523224297840 X^{29} + 14520529565511555036172 X^{30} \\
 + & 29688209277164999351080 X^{31} + 46109411843449203201495 X^{32} \\
 + & 11874604308325191705300 X^{33} - 304520712140489244332444 X^{34} \\
 - & 1710507607494226305427600 X^{35} - 6564373286217262022972626 X^{36} \\
 - & 20640733068869514203178928 X^{37} - 55485376072870265785653512 X^{38} \\
 - & 128793713071489729206023952 X^{39} - 257743742783949813779493007 X^{40} \\
 - & 442469975366494543245531996 X^{41} - 655052776921613524140717120 X^{42} \\
 - & 884472107222475356521568192 X^{43} - 1280575595777430358465307604 X^{44} \\
 - & 2232747093968418475468736712 X^{45} - 3709663451251650088528216368 X^{46} \\
 - & 2787642171110435554924445112 X^{47} + 10836668436242566282618846201 X^{48} \\
 + & 58617803145640098757603141084 X^{49} + 169901174645519701610315084748 X^{50}
 \end{aligned}$$

$$\begin{aligned}
&+ 364619363395851165251556074640 X^{51} + 621760817442592188743112149958 X^{52} \\
&+ 853996995954752839123279092256 X^{53} + 936403079514859290353492992584 X^{54} \\
&+ 813242989399427654276532027720 X^{55} + 561901601257250767568960750119 X^{56} \\
&+ 135336745534853793043766886324 X^{57} - 1359056654022871830736377392248 X^{58} \\
&- 6463196369092920757436226504288 X^{59} - 19274666150603339082780988303322 X^{60} \\
&- 43000266962344916776074492071304 X^{61} - 73878522660917308900155611253488 X^{62} \\
&- 93075326288055274100372536594400 X^{63} - 64536984699047964526813581514542 X^{64} \\
&+ 49300929293800996462069228076464 X^{65} + 252860159656242452092675829367640 X^{66} \\
&+ 489725119826300703593418835619104 X^{67} + 660488031167958421155995175713950 X^{68} \\
&+ 685712147170409615430086676252264 X^{69} + 551683526957510476762145457969296 X^{70} \\
&+ 288512672181776185291212516963736 X^{71} - 74267572398719223747581053086990 X^{72} \\
&- 500903915968439620592031943919824 X^{73} - 910549984484808540102258882764384 X^{74} \\
&- 1206968873617213245195049682159960 X^{75} - 1388629308181446796708722329894566 X^{76} \\
&- 1569354844716924282753640688567888 X^{77} - 1823707475660170741752627186852960 X^{78} \\
&- 2048864511428828705784772599553992 X^{79} - 2035166278567233185515268622860248 X^{80} \\
&- 1687433627384737395302666916386904 X^{81} - 1115482759086740014512839085137184 X^{82} \\
&- 526761122020931966446367902077448 X^{83} - 58577864879939375605450418679390 X^{84} \\
&+ 250069449965626638272171839412808 X^{85} + 387136100056401973048117693037508 X^{86} \\
&+ 357325360560127756205870421947760 X^{87} + 211364951183975868623079248436736 X^{88} \\
&+ 51418627724822694637234112345296 X^{89} - 46773865393411874487242211411132 X^{90} \\
&- 71774553474500093078405620618056 X^{91} - 53829465805447662564570533480300 X^{92} \\
&- 23062139597305102540202721147928 X^{93} + 1816100885334286383938979391048 X^{94} \\
&+ 11380969645808962145214086704520 X^{95} + 8855368362001862935225686348201 X^{96} \\
&+ 3508823119483958223796553026092 X^{97} + 698584814104495914238234637808 X^{98} \\
&- 70607871098449423028062500728 X^{99} - 98180055668334747549552434182 X^{100} \\
&+ 13906908793114791985890198096 X^{101} + 61292636677690980053605520392 X^{102} \\
&+ 40196120652474279054639641144 X^{103} + 17855181917039225649951928083 X^{104} \\
&+ 6334493066645070192567414780 X^{105} + 2278787412568458774590238896 X^{106} \\
&+ 737551796202189011654576888 X^{107} + 432931186611007826071544506 X^{108} \\
&+ 42930134179004989016938168 X^{109} + 538259733452669451411924 X^{110} \\
&- 8495924317136199276760920 X^{111} - 1018334616107030308504127 X^{112} \\
&+ 30090518814268329965700 X^{113} + 67986368606208563098464 X^{114} \\
&+ 5895943156273015604992 X^{115} - 448019811798352498176 X^{116} \\
&- 280668086084640358400 X^{117} - 3365783326104268800 X^{118} \\
&+ 1750559212171657216 X^{119} + 313989595009449984 X^{120}.
\end{aligned}$$

証明

$E/\mathbb{Q}(t)$ を楕円曲線

$$y^2 = x^3 + (1 + t + t^2 + t^3) x + 1 + t + t^2 + t^3 + t^5. \quad (1)$$

$\bar{\mathbb{Q}}$ を \mathbb{Q} の代数的閉包、ガロア群 $Gal(\bar{\mathbb{Q}}/\mathbb{Q})$ は自然に $E(\bar{\mathbb{Q}}(t)) \cong E_8$ に作用するから、次のガロア表現ができる：

$$\rho : Gal(\bar{\mathbb{Q}}/\mathbb{Q}) \longrightarrow Aut(E(\bar{\mathbb{Q}}(t))) \cong Aut(E_8) = W(E_8) \quad (2)$$

その像を G は多項式 $\Psi(v) = F(v^2)$ のガロア群と等しい。

$$G \subset W(E_8) \subset \mathcal{S}_{240}$$

証明すべきこと： $G = W(E_8)$

素数 p について、 $\Psi_p(X) = \Psi(X) \pmod{p}$ の多項式環 $\mathbb{Z}/p\mathbb{Z}[X]$ での因数分解を考える。

$p = 5, 7, 11, 13, 17$ のとき、
 $\Psi_p(X)$ のサイクル型は、それぞれ
 $(15)^{16}$, $(3)^8(12)^{18}$, $(15)^{16}$, $(20)^{12}$, $(4)^2(8)^{29}$.
になる。よって、次の lemma から証明終。

Lemma (Jouve-Kowalski-Zywina)

$W(E_8)$ の部分群 H が
サイクル型 $(15)^{16}$, および $(4)^2(8)^{29}$ の元を含めば、
 $H = W(E_8)$ である。

予定

- MWL誕生前後（秘話）
- 代数方程式とMWL
- MWL概観
- 例外型 (E_6, E_7, E_8) 方程式論
- 整数点とグレブナ基底
- ガロア群 $=W(E_8)$ となる多項式の実例

整数点とグレブナ基底

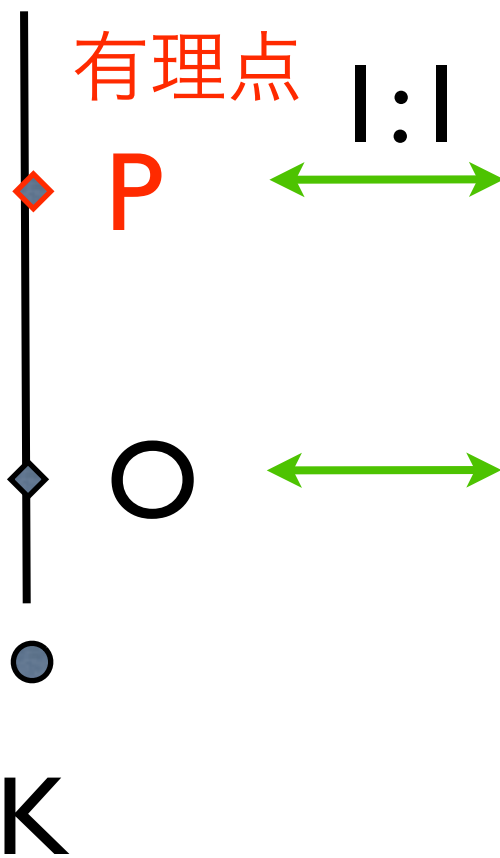
関数体上の 楕円曲線

E / K



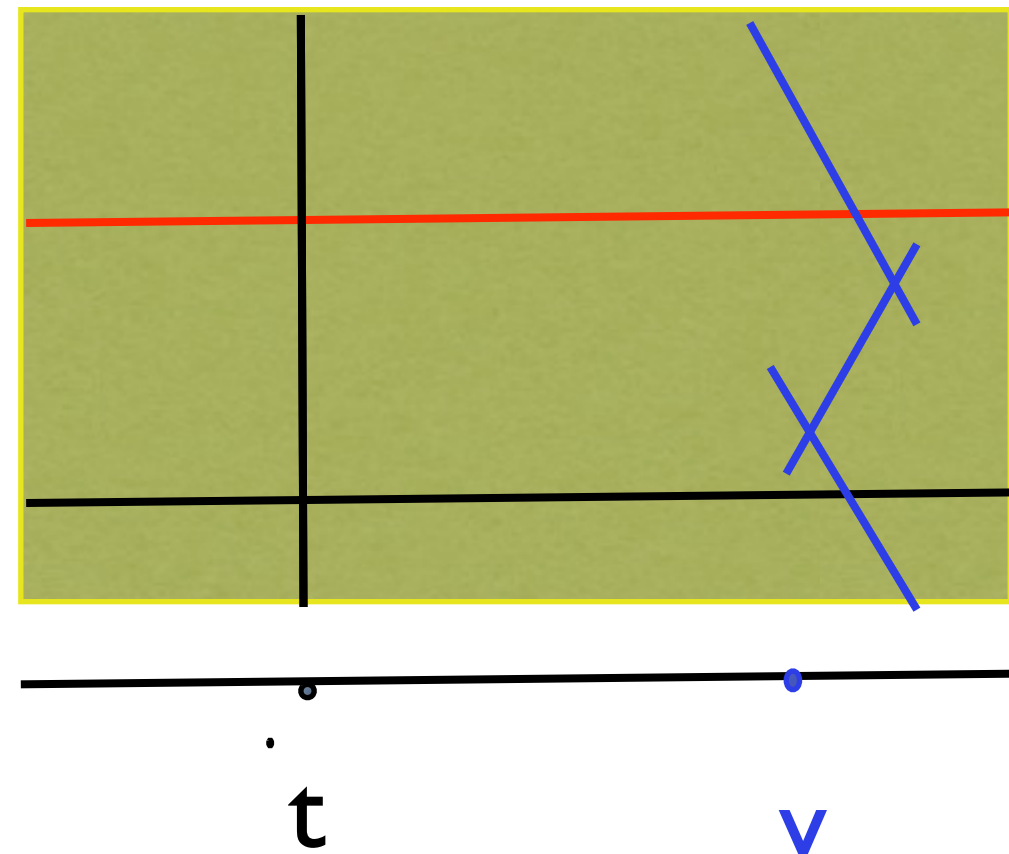
S: 楕円曲面

特異ファイバ (小平)



切断 (P)

(O)



S
↓
C

P : 切断 \longleftrightarrow 有理点

定義 ゼロ切断と交わらない切断を
整切断, または**整点**とよぶ。

整切断 \longleftrightarrow 整数点

$\mathcal{P} := \{P \mid (P) \cap (O) = \emptyset\}$ 整点の集合
は有限集合である (ジーゲルの定理の類似)

S : 有理楕円曲面 \longrightarrow

P : 整点 $\Leftrightarrow P = (x(t), y(t)), \deg x(t) \leq 2, \deg y(t) \leq 3$

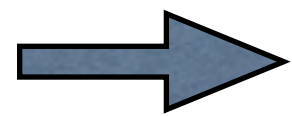
$$x(t) = gt^2 + at + b,$$

$$y(t) = ht^3 + ct^2 + dt + e$$

有理楕円曲面 S の方程式

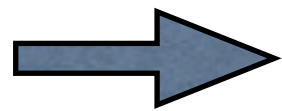
$$y^2 = x^3 + A(t)x + B(t)$$

に代入、 t について整理



t について6次の恒等式：

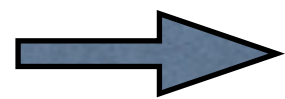
$$\phi_0 + \phi_1 t + \cdots + \phi_6 t^6 = 0$$



$$I = (\phi_0, \phi_1, \cdots, \phi_6)$$

多項式環 $R = k[g, h, a, b, c, d, e]$ のイデアル

イデアル I の共通零点 $V(I)$

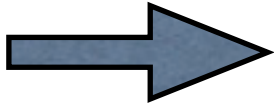


整点の集合 \mathcal{P}



(重複度を無視すれば)

- 問題
1. 整点の個数は？
 2. イデアル I の線形次元 ？
 3. 重複度は？
- I の準素イデアル分解は？

MWL+ ルート格子 E_8 

有理楕円曲面の場合には完全な答：

- 定理
1. 整点の個数 $n \leq 240$
 $n = 240 \Leftrightarrow T = 0$ (可約ファイバなし)
 2. $\dim_k R/I = 240 - \nu(T)$ T : *trivial lattice*
 3. $I = \mathfrak{q}_1 \cap \cdots \cap \mathfrak{q}_n$
- 各重複度 $\dim_k R/\mathfrak{q}_i = m(P_i)$ *comb. mult.*

他方、上の問題は

グレブナ基底の方法で直接計算できる

(原理的に)

例 (ルジャンドル曲面)

$$E : y^2 = x(x - 1)(x - t)$$

$$\mathcal{P} = \{P_1 = (0, 0), P_2 = (1, 0), P_3 = (t, 0)\}$$

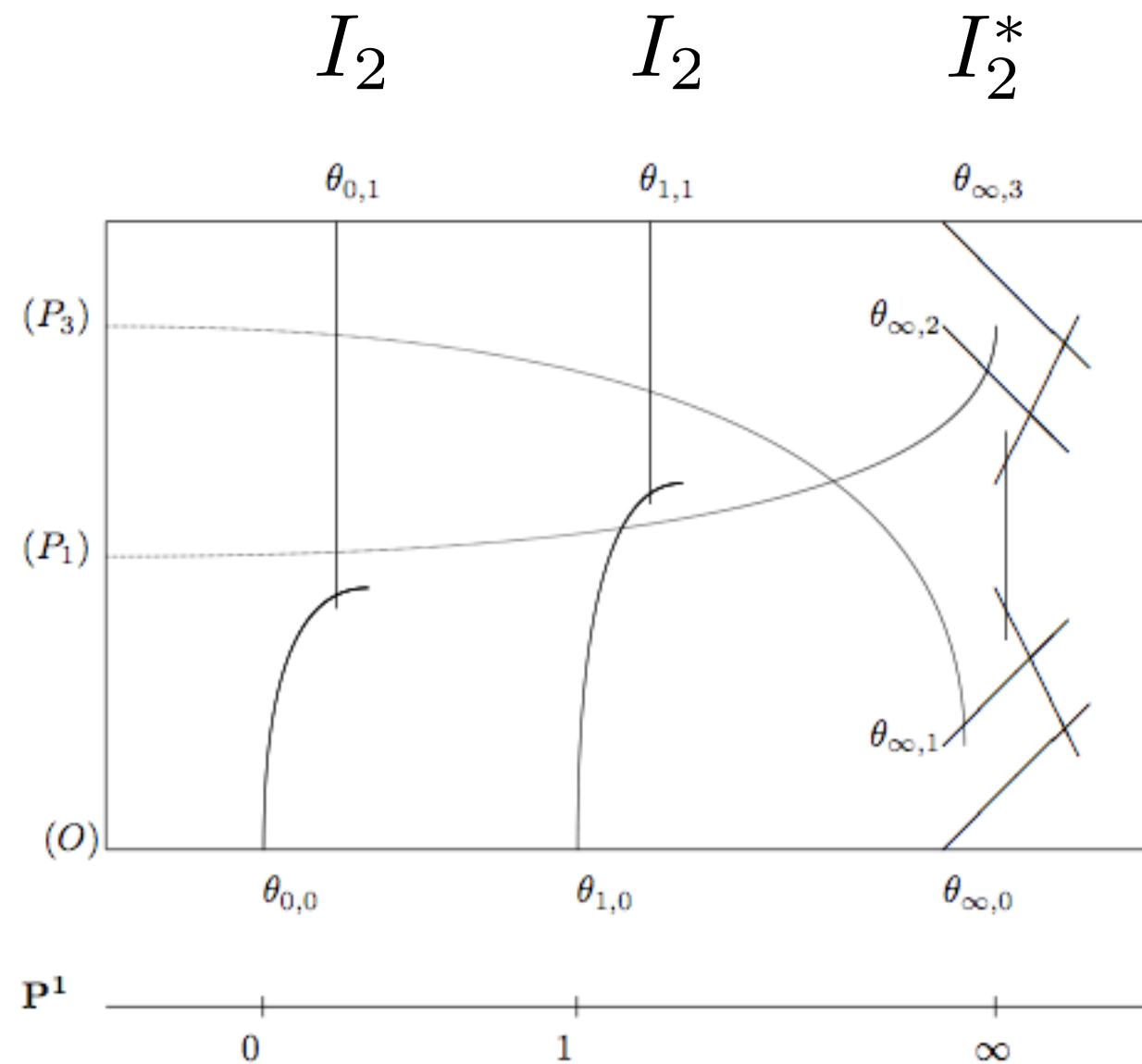
$$n = 3 \quad E(K) = \mathcal{P} \cup \{O\} \cong (\mathbb{Z}/2\mathbb{Z})^2$$

$$I = \mathfrak{q}_1 \cap \mathfrak{q}_2 \cap \mathfrak{q}_3$$

$$\dim_k R/\mathfrak{q}_i = m(P_i) = 64, 64, 48$$

グレブナ基底の直接計算でもチェック

ルジャンドル
楕円曲面



Trivial lattice: $T = A_1^{\oplus 2} \oplus D_6 \subset E_8$

$$\nu(T) = 2 + 2 + 60 = 64$$

$$\dim_k R/I = 240 - \nu(T) = 176$$

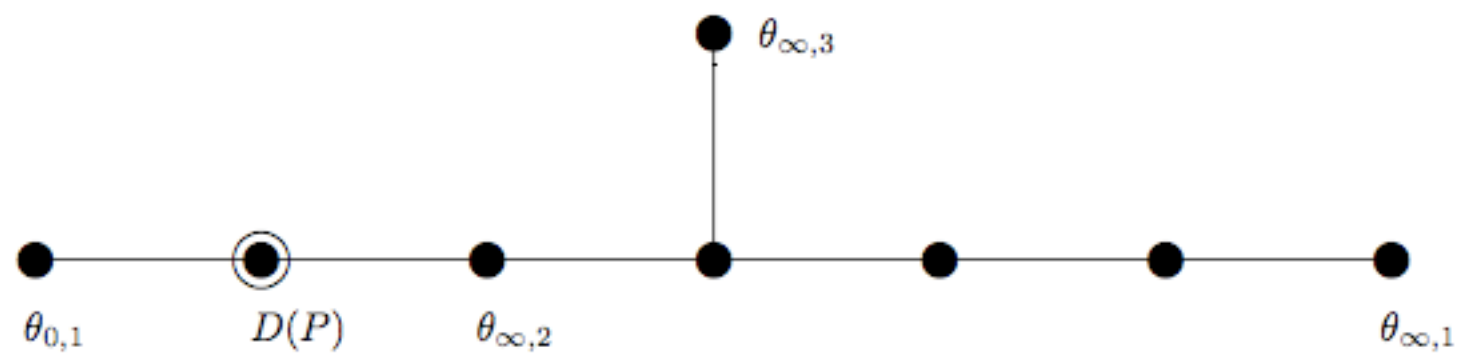
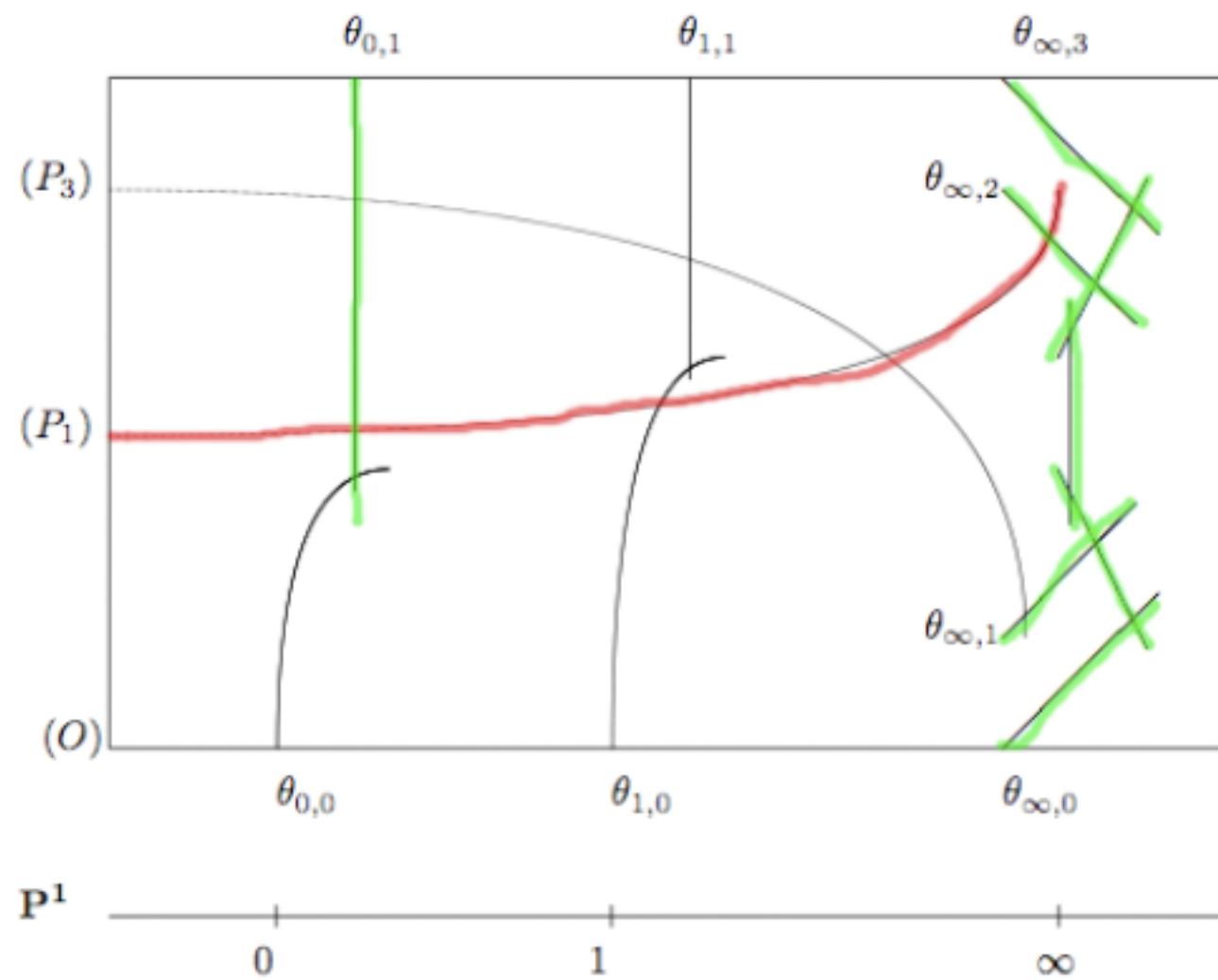
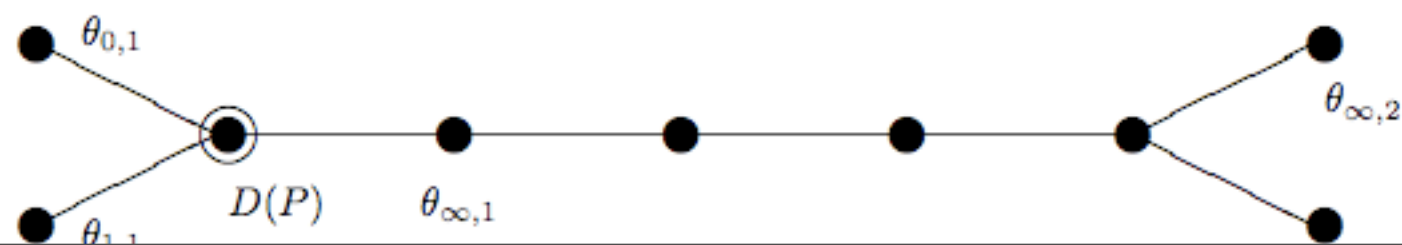


Figure 3: Root graph $\Delta(P)$ for $P = P_1$



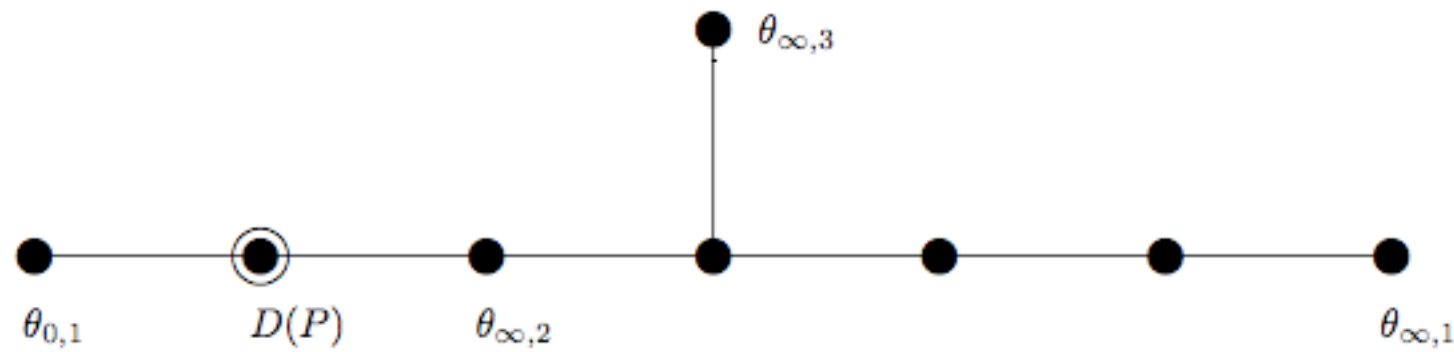


Figure 3: Root graph $\Delta(P)$ for $P = P_1$

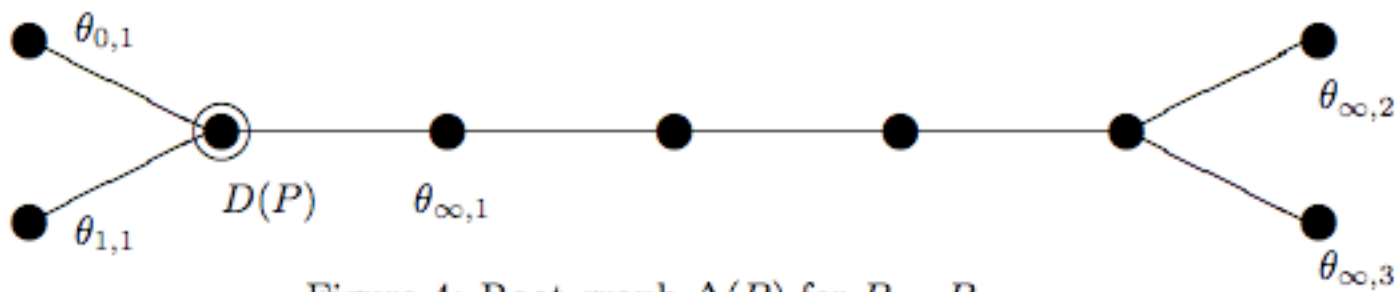


Figure 4: Root graph $\Delta(P)$ for $P = P_3$

combinatorial multiplicity:

$m(P)$ = number of “distinguished roots”
in the root graph for P .

$D(P)$ + lin. combination of other roots ●

有理楕円曲面の分類（小木曾・塩田）：

MWL と T により、74種類のタイプに分かれる
(T = trivial lattice)

各タイプについて、
整点の重複度などが決定される。

有理楕円曲面を超えたK3曲面等では、
上記の問題はまだよく解明されていない。
以上



Thank you!